

# 두모드간섭 현상을 이용한 $4 \times 4$ 열광학스위치 설계

정명선\*, 김정근

광주대학교 컴퓨터전자통신공학부

E-mail : nanjms@hanmail.net, jeongkim@hosim.gwangju.ac.kr

## Design of $4 \times 4$ Thermo-optic Switch using Two Mode Interference coupler

Myung-Sun Jung\*, Jeong-Geun Kim

Division of Computer, Electronic & Communication Engineering  
Gwangju University

### Abstract

In this paper, we investigated the characteristics of  $4 \times 4$  thermo-optic switch using two mode interference(TMI) coupler. We designed this matrix switch by using a configuration which combines a double Mach-Zehnder interferometer(MZI) switching unit. The average extinction ratio and average excess loss of the  $4 \times 4$  thermo-optic switch was 33.7dB, 0.29dB, respectively.

### I. 서론

최근 WDM은 광백본망에 없어서는 안될 중요한 존재로 성장하였으며, 이를 이용한 광백본망에 불가결한 것이 광스위치이다. 기존의 광백본망은 복수의 단파장(SONET/SDH) 네트워크를 멀티 대 멀티를 접속한 매쉬형의 구성이었다. 이후 1995년부터 대도시간 전송용량 부족이 심각해지면서 통신 사업자들은 복수의 파장을 이용한 WDM을 도입하여 두 지점간 고속화를 도모하기 시작하였다. 이와 같이 일대일 접속의 WDM 네트워크가 도입되자 복수의 WDM 네트워크를 상호 접속할 필요성이 대두되었는데, 여기서 없어서는 안될 것이 광스위치이다. 광스위치를 이용함으로써 멀티 대

멀티 접속의 WDM 네트워크를 구축할 수 있다. WDM이 향후 광백본망의 주류가 되고, 이 WDM에 필수적인 것이 광스위치라고 보았을 때 광스위치 도입 및 개발은 우리에게 시사하는 바가 매우 클 것으로 생각된다[1]. 본 논문에서는 OXC, OADM에 사용되어지는  $4 \times 4$  열광학 스위치를 설계함에 있어 열광학 효과원리를 바탕으로 열광학온도 계수가 실리카보다 큰 폴리머를 사용하였고, 동작파장  $1.55\mu\text{m}$ 와 상대굴절률차가 낮은 0.3%에서 기본모드와 제1고차모드를 가지는 두모드간섭 결합기를 이용하였다. 이 소자는  $2 \times 2$  열광학 스위치를 double Mach-Zehnder 간섭계(MZI) 구조로 연결한 matrix 스위치이다. 이에 대한  $4 \times 4$  열광학 스위치의 특성을 제시하였다.

### II. 다중모드간섭(MMI) 현상

다중모드간섭(MMI : Multimode Interference)을 이용한 소자는 넓은 광대역, 편광의 무의존성, 저손실, 작은 크기, 제조의 용이성 등의 장점 때문에 최근에 많은 관심을 일으키고 있다[2]. 다중모드간섭 소자는 다중모드 도파로 내에서 존재할 수 있는 모드들의 위상관계를 해석함으로서 광파의 도파축에 입사광의 전계분포가 일정한 주기로 단일 또는 다중 형태로 재생되는 다중모드 도파로의 특성을 이용한다.

다중모드간섭은 다중모드 도파로 내에서의 self-

imaging 이론에 근거를 두어 해석된다. 이 self-imaging이란 입력파의 분포를 파의 진행방향으로 주기적인 간격마다 하나 또는 여러 개의 상(image)으로 재생시킬 수 있는 현상을 말한다. 즉, 광파의 전파방향으로 입사된 전계 분포가 일정한 주기로 단일 또는 다중 형태로 재생되는 다중모드 도파로의 특성을 갖는다. 다중모드 도파로의 self-imaging은 그림 1과 같이  $y-z$  평면상에 도파로 폭을  $W_M$ , 입력필드를  $\Psi(y,0)$ , 광파의 진행방향을  $z$ 축으로 나타내었다[3].

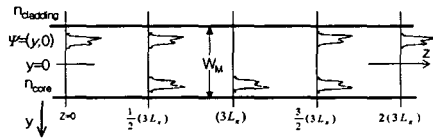


그림 1. 다중모드 도파로의 self-imaging

다중모드 도파로에는 기본모드를 포함한 여러 개의 고차모드들이 횡축으로 존재한다. 본 논문에서는 기본 모드와 제1고차모드, 즉 두 개의 모드만을 가지는 TMI(Two Mode Interference)를 이용하였다.

일반적으로, 실효폭  $W_{ev}$ 은 기본모드에 대응하는 실효폭에 의해 식 (1)과 같이 근사화할 수 있다.

$$W_{ev} \approx W_e = W_M + \left( \frac{\lambda_0}{\pi} \right) \left( \frac{n_c}{n_{eff}} \right)^{2\sigma} (n_{eff}^2 - n_c^2)^{-(1/2)} \quad (1)$$

여기서,  $\sigma=0$ 일 때 TE 모드이고,  $\sigma=1$ 인 경우에 TM 모드에 대응한다. 그리고  $n_{eff}$ 는 코어의 유효굴절률이고,  $n_c$ 는 클래딩 굴절률이다.

식 (2)는 두 개의 최저차모드인 기본모드와 제1고차모드의 결합길이로서  $L_s$ (beat length)로 정의된다.

$$L_s = \frac{\pi}{\beta_0 - \beta_1} \approx \frac{4n_{eff}W_e^2}{3\lambda_0} \quad (2)$$

### III. 열광학 스위치의 원리

본 논문에서 제안한 두모드간섭 현상을 이용한  $4 \times 4$  열광학 스위치는  $2 \times 2$  열광학 스위치를 matrix array한 것이다. 그림 2를 보면, Mach-Zehnder 간섭계(MZI)의 구조는 입력단에 광을 입사하면 입사된 광들이 서로 근접해서 광 상호간의 간섭이 일어나는 첫번째 3dB TMI 결합기, 두 광이 위상차  $\Delta\phi$ 에 의해 광

의 위상천이를 격게 된 후 두 번째 3dB TMI 결합기에서 상호작용하여 최종 출력단으로 나오게 된다[4].

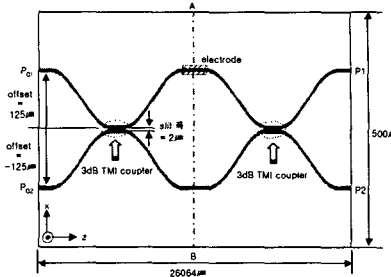


그림 2.  $2 \times 2$  열광학 스위치의 구조

도파로에 온도  $T$ 의 열을 가하면, 온도의 변화와 매질의 밀도  $\rho$ 의 변화에 의해 도파로의 굴절률  $n$ 이 변하게 된다. 온도에 대한 굴절률의 변화율을 열광학계수(thermo-optic coefficient)라 하고, 식 (3)과 같다[5].

$$\begin{aligned} \frac{dn}{dT} &= \left( \frac{\delta n}{\delta \rho} \right)_T \left( \frac{\delta \rho}{\delta T} \right) + \left( \frac{\delta n}{\delta T} \right)_\rho \\ &= - \left( \frac{\rho \delta n}{\delta \rho} \right)_T \gamma + \left( \frac{\delta n}{\delta T} \right)_\rho \end{aligned} \quad (3)$$

폴리머인 경우 열팽창계수  $\gamma$ 는  $2 \times 10^{-4}/^\circ\text{C}$ 이고, 열광학계수  $dn/dT$ 는  $-1 \times 10^{-4}/^\circ\text{C}$ 이다.

### IV. $4 \times 4$ 열광학 스위치의 구조

본 논문에서는 TMI 현상을 이용한 것으로, 두 개의 모드, 즉 기본모드와 제1고차모드가 생기기 위한 TMI 폭의 조건은 상대굴절률차가 0.3%이었을 때  $16.4\mu\text{m}$ 이 하였다. 이 조건에 맞게 설계하기 위해 TMI 도파로의 폭을  $16\mu\text{m}$ 로 설정하였으며, 이 때 3dB TMI 결합기의 결합길이는  $1032\mu\text{m}$ 이였다.

그림 2는  $2 \times 2$  열광학 스위치의 구조를 보여주고 있다. 이 구조는 3dB TMI 결합기 두 개가 마흐젠더 형태로 종속 연결되어 있으며, 각각의 입력 및 출력 분기 도파로에서의 방사순실을 줄이기 위해서 cosine bend 도파로를 사용하였고 충분한 곡률반경을 주었다. 기존의 단일 모드 광섬유와 쉽게 결합하기 위해 입·출력도파로의 단면을  $8\mu\text{m} \times 8\mu\text{m}$ 로 하였고, 입·출력도파로 간격을  $250\mu\text{m}$ 로 분리시켰다. 두모드간섭 현상은 두 개의 imaging 거리를 줄이고 소자의 길이를 줄이기 위해서 일반간섭을 이용하였고 3dB TMI 결합기 부분에서 공정상의 문제점을 보상하기 위해 slit 폭을  $2\mu\text{m}$

로 하였다.

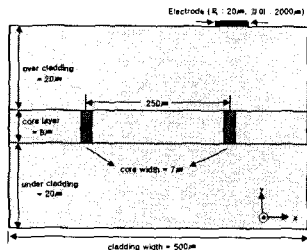


그림 3. 2x2 열광학 스위치의 전극 단면도

그림 3은 그림 2의 A-B 부분을 잘랐을 때 전극 단면도를 보여주고 있다. 도파로는 매립형 채널 도파로이고, 도파로의 재료는 열광학 온도 계수가 실리카보다 큰 폴리머를 이용하였다. 이 구조에서 전체 도파로 폭은  $500\mu\text{m}$ , 하부층 클래딩(under cladding)과 상부층 클래딩(over cladding)의 높이는  $20\mu\text{m}$ 로 같게 하고, 코어층(core layer)의 높이는  $8\mu\text{m}$ 로 설정하였다. 이에 따른 코어와 클래딩의 굴절률은 각각 1.44835, 1.444이다. 그리고 전극은 Mach-Zehnder 간섭계 영역의 위쪽 도파로에 놓았다. 여기서 전극폭은  $20\mu\text{m}$ , 깊이는 z축으로  $2000\mu\text{m}$ 로 하였다.

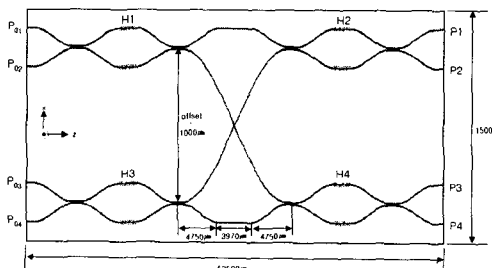
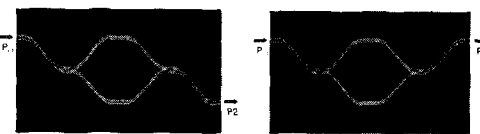


그림 4. 4x4 열광학 스위치의 구조

그림 4는 2x2 열광학 스위치를 matrix array한 4x4 열광학 스위치의 구조를 보여주고 있다. 전극은 Mach-Zehnder 간섭계 영역의 H1, H2, H3, H4에 각각 놓았다. 그림에서 본 것처럼 전극을 모두 8개 달았으나 본 논문에서는 Mach-Zehnder 간섭계의 두 arm 도파로 중 위쪽에만 전극전력을 가해 시뮬레이션을 하였다. 특히 중요하게 볼 점은 전송효율을 고려하여 offset을  $1000\mu\text{m}$ 로 주었으며, 2x2 스위치와 2x2 스위치 사이의 교차점 깊이는  $13470\mu\text{m}$ 에서 최적화를 시켜 전체 도파로 길이가  $53598\mu\text{m}$ 가 되었다.

## V. 시뮬레이션 결과 및 검토

본 장에서는 앞장에서 제시한 두모드간섭 현상을 이용한  $4\times 4$  열광학 스위치를 설계하여 그 특성 결과를 제시하였다. 그림 5는  $2\times 2$  열광학 스위치의 광분포를 나타낸 것으로서, 그림 5(a)와 같이  $P_{01}$ 에서 광을 입사하면 전극전력을 인가하지 않았을 경우  $P_2$ 로 광이 출력된다. 그러나 그림 5(b)와 같이 Mach-Zehnder 간섭계의 위쪽 arm에 전극전력을 인가하면 굴절률이 변하여 위상을 변화시킬 수 있다. 결국 위상차에 의해  $P_1$ 로 광이 출력되는 것을 볼 수 있다. 다시 말해, 도파로에 전극을 가하면, 온도의 변화와 매질의 밀도 변화에 의해 도파로의 굴절률이 변하게 된다. 온도에 따른 굴절률 변화는 폴리머의 온도에 대한 굴절률 변화, 즉 열광학 계수는  $-0.9\times 10^{-4}/^\circ\text{C}$ , 열전도율은  $0.2[\text{W}/\text{m}/\text{K}]$ 로 가정하였다.



(a) 전극전력 OFF 상태 (b) 전극전력 ON 상태

그림 5. 2x2 열광학 스위치의 광분포

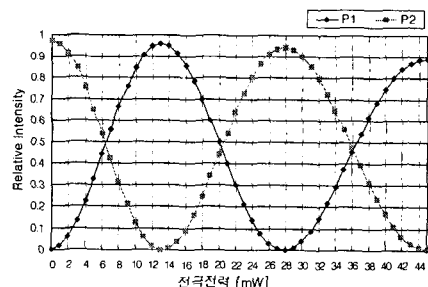


그림 6. 전극전력에 따른 출력전력

그림 6은 전극 전력에 따른 광강도의 변화를 보여주고 있다. 전극전력을  $0\text{mW}$ 에서  $45\text{mW}$ 까지 각각  $1\text{mW}$ 씩 전력을 인가하여 이에 대한 광강도의 변화를 조사한 결과,  $P_{01}$ 에서 광을 입사하였을 경우 cross 상태에서 bar 상태로 완전히 스위칭이 되어짐을 알 수 있었다. 구체적으로 말하자면, 전극전력이  $13\text{mW}$ 에서 bar 상태로 스위칭이 되었고, 전극전력이  $28\text{mW}$ 에서 다시 한번 cross 상태로 스위칭이 되었다는 것이다. 그 결과 전극전력이  $13\text{mW}$ 일 때 전송효율과 소광비는 각각 96%, 32dB이었다.

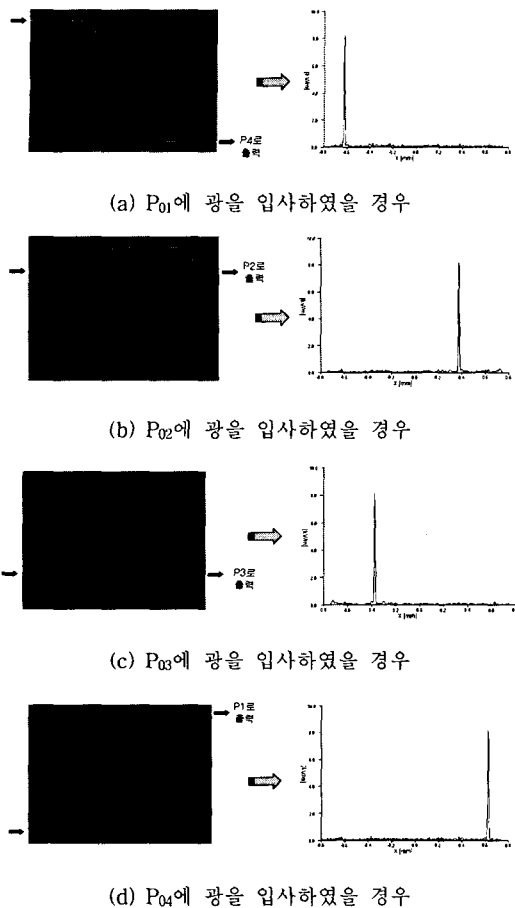


그림 7. 각 입력단에 광을 입사하였을 경우  
광분포와 출력 스펙트럼 응답

그림 7은 P<sub>01</sub>, P<sub>02</sub>, P<sub>03</sub>, P<sub>04</sub>의 입력단에 광을 입사하였을 경우 광분포와 출력 스펙트럼 응답을 보여주고 있다. 가령, 전극전력을 인가하지 않으면 P<sub>01</sub>에 광을 입사해도 첫번째 단의 2x2 열광학 스위치는 cross 상태로 전달되어지고, 두 번째 단의 2x2 열광학 스위치도 전극전력을 인가하지 않았으므로 또 다시 cross 상태가 되어 결국 P4로 광이 출력되어지는 것을 그림 7(a)에서 볼 수 있다.



그림 8. H1, H2 전극전력 인가시

만약 그림 8과 같이 H1과 H2에 전극전력을 인가하였다면, 첫번째 단의 2x2 열광학 스위치는 위상이 변하여 bar 상태로 전달되어지고, 두 번째 단의 2x2 열광학 스위치도 전극전력을 인가하였으므로 bar 상태가 되어 결국 P1로 출력되어진다.

## VI. 결론

본 논문에서는 두모드간섭현상을 이용한 4x4 열광학 스위치를 상대굴절률차 0.3%인 경우에 설계하여 히터 전력에 따른 스위칭 특성들을 제시하였다. 도파로의 재료는 온도에 따른 굴절률 변화율이 실리카보다 상대적으로 큰 폴리머를 이용하였다. 이 전송특성은 해석의 용이함과 해석시간을 줄이기 위해서 3차원구조의 도파로를 유효굴절률법(EIM)에 의해 2차원 구조의 도파로로 근사화시킨 후, 반사파에 의한 영향을 고려해 투명경계조건을 이용하였다.

시뮬레이션 결과, 2x2 열광학 스위치는 전극전력이 OFF 상태일 경우 소광비와 잉여손실은 각각 40dB, 0.12dB이고, ON 상태일 경우 32dB, 0.18dB이었다. 2x2 열광학 스위치를 matrix array한 4x4 열광학 스위치는 전극전력이 OFF 상태일 경우 평균 소광비와 평균 잉여손실은 각각 33.7dB, 0.29dB이고, ON 상태일 경우 33.7dB, 0.36dB이었다. 추후 과제로는 설계 결과를 바탕으로 마스크 제작 및 공정 의뢰하여 비교 검토하는 것이다.

## 참고문헌

- [1] IT정보센터, “광스위치 개발동향”, 주간기술동향 통권 1024호, 2001.11.28.
- [2] Juerg Leuthold and et al., "Multimode Interference Couplers with Tunable Power Splitting Ratios," *J.Lightwave Technology*. vol.19, no.5, pp.700-707, 2001.
- [3] Lucas B. Soldano, Erik C. M. Pennings, "Optical Multimode Interference Devices Based on Self-Imaging : Principles and Applications" *J. Lightwave Technology*, Vol.13, No.4, pp.615-627, April 1995.
- [4] Derk Hendrik Pieter MAAT "InP-Based Integrated MZI Switches for Optical Communication", natuurkundig ingenieur, geboren te Middelstum, pp. 37-38, april 2001.
- [5] Murphy. Edmond J, "Integrated Optical Circuits : design and applications", Marcel Dekker, pp. 239-298, 1999